

|            |  |   |
|------------|--|---|
| PROVINCIA  | SIRACUSA                                 |   |
| COMUNE     | Lentini                                  |   |
| LIVELLETTA | DIFF. DI QUOTA<br>DISTA<br>PERMIL        |   |
|            | h = -7,125<br>L = 146,350<br>i = -4,861% | h = -1,828<br>L = 95,487<br>i = -1,914% |

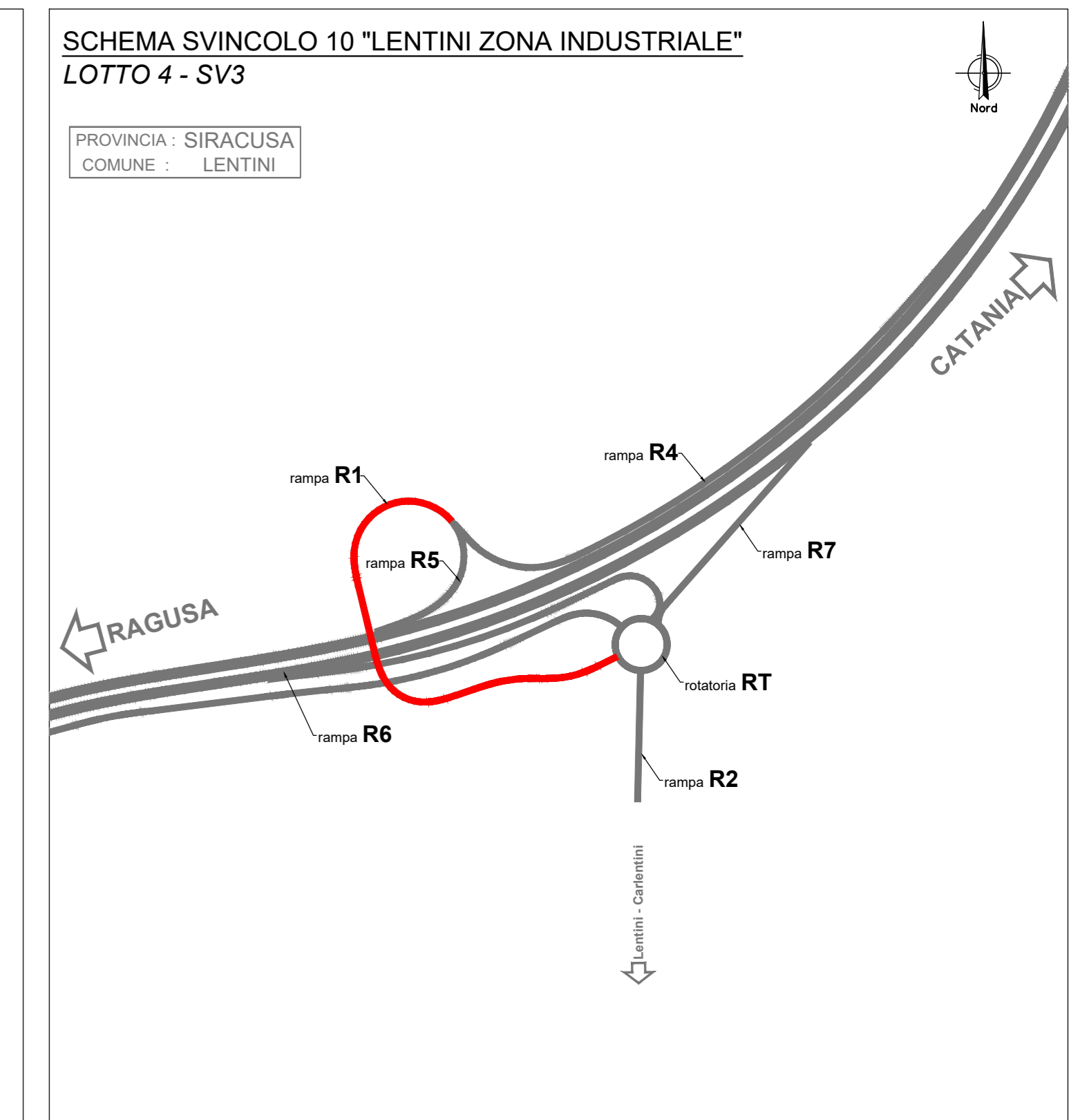
LOTTO 4  
SVINCOLO 10  
"LENTINI Z. I."  
asse RAMPA R1  
INQUADRAMENTO 2 DI 2



**LEGENDA**  
**ANDAMENTO ALTIMETRICO**  
**LIVELLETTA:**  
 h= Differenza di quota tra due vertici [m]  
 L= Lunghezza livelletta [m]  
 i= pendenza livelletta [%]  
**VERTICI:**  
 N= numerazione vertice altimetrico  
 Pv= Progressiva vertice altimetrico [m]  
 Qv= Quota vertice altimetrico [mslm]  
 R= Raggio raccordo verticale [m]  
 T= Tangente raccordo verticale [m]  
 Fv= Freccia [m]  
 Sv= Sviluppo raccordo verticale [m]  
**ANDAMENTO PLANIMETRICO:**  
 L= Lunghezza rettilia [m]  
 Curva circolare  
 R= Raggio [m]  
 Sv= Lunghezza [m]  
 Curva a raggio variabile  
 A= Parametro di scala della ciotolide [m]  
 Sv= Lunghezza dell'arco di ciotolide [m]

SCALA QUOTE 1:50  
SCALA DISTANZE 1:500

| NUMERO SEZIONI               | R1 23  | R1 24                        | R1 25                        | R1 26      | R1 27       | R1 28      | R1 29       | R1 30        | R1 31      | R1 32      | R1 33      | R1 34     | R1 35     | R1 36     | R1 37     | R1 38     | R1 39     | R1 40     | R1 41     | R1 42     | R1 43     | R1 44     | R1 45     | R1 46     | R1 47     |          |  |                              |                             |                              |                              |              |             |            |            |            |             |           |             |              |          |            |      |            |        |       |            |      |             |       |            |       |  |          |
|------------------------------|--|------------------------------|------------------------------|------------|-------------|------------|-------------|--------------|------------|------------|------------|-----------|-----------|-----------|-----------|-----------|-----------|-----------|-----------|-----------|-----------|-----------|-----------|-----------|-----------|----------|--|------------------------------|-----------------------------|------------------------------|------------------------------|--------------|-------------|------------|------------|------------|-------------|-----------|-------------|--------------|----------|------------|------|------------|--------|-------|------------|------|-------------|-------|------------|-------|--|----------|
| DISTANZE PARZIALI            | 8,153  | 2,537                        | 17,063                       | 10,299     | 6,080       | 20,000     | 9,275       | 10,725       | 6,519      | 13,481     | 20,000     | 4,483     | 11,789    | 13,167    | 6,833     | 20,000    | 20,000    | 20,000    | 20,000    | 20,000    | 20,000    | 20,000    | 20,000    | 15,300    |           |          |  |                              |                             |                              |                              |              |             |            |            |            |             |           |             |              |          |            |      |            |        |       |            |      |             |       |            |       |  |          |
| DISTANZE PROGRESSIVE         | 0+000  | 0+008,153                    | 0+010,690                    | 0+027,753  | 0+033,842   | 0+044,141  | 0+064,141   | 0+070,221    | 0+080,940  | 0+091,661  | 0+105,142  | 0+111,623 | 0+125,104 | 0+136,823 | 0+148,542 | 0+160,261 | 0+172,000 | 0+192,000 | 0+212,000 | 0+232,000 | 0+252,000 | 0+272,000 | 0+292,000 | 0+312,000 | 0+327,300 |          |  |                              |                             |                              |                              |              |             |            |            |            |             |           |             |              |          |            |      |            |        |       |            |      |             |       |            |       |  |          |
| QUOTE TERRENO                | -4,716   | -4,716                       | -4,716                       | -4,716     | -4,716      | -4,716     | -4,716      | -4,716       | -4,716     | -4,716     | -4,716     | -4,716    | -4,716    | -4,716    | -4,716    | -4,716    | -4,716    | -4,716    | -4,716    | -4,716    | -4,716    | -4,716    | -4,716    | -4,716    | -4,716    |          |  |                              |                             |                              |                              |              |             |            |            |            |             |           |             |              |          |            |      |            |        |       |            |      |             |       |            |       |  |          |
| QUOTE PROGETTO               | -4,627   | -4,627                       | -4,627                       | -4,627     | -4,627      | -4,627     | -4,627      | -4,627       | -4,627     | -4,627     | -4,627     | -4,627    | -4,627    | -4,627    | -4,627    | -4,627    | -4,627    | -4,627    | -4,627    | -4,627    | -4,627    | -4,627    | -4,627    | -4,627    | -4,627    |          |  |                              |                             |                              |                              |              |             |            |            |            |             |           |             |              |          |            |      |            |        |       |            |      |             |       |            |       |  |          |
| DIFFERENZA DI QUOTA          | 0,089  | 0,089                        | 0,089                        | 0,089      | 0,089       | 0,089      | 0,089       | 0,089        | 0,089      | 0,089      | 0,089      | 0,089     | 0,089     | 0,089     | 0,089     | 0,089     | 0,089     | 0,089     | 0,089     | 0,089     | 0,089     | 0,089     | 0,089     | 0,089     | 0,089     |          |  |                              |                             |                              |                              |              |             |            |            |            |             |           |             |              |          |            |      |            |        |       |            |      |             |       |            |       |  |          |
| ETTOMETRICHE                 | 3  |                              |                              |            |             |            |             |              |            |            |            |           |           |           |           |           |           |           |           |           |           |           |           |           |           |          |  |                              |                             |                              |                              |              |             |            |            |            |             |           |             |              |          |            |      |            |        |       |            |      |             |       |            |       |  |          |
| ANDAMENTO PLANIMETRICO       | <table border="0"> <tr> <td>A=44,385 Sv=27,361 R=100,000</td> <td>A=65,135 Sv=36,305 R=17,284</td> <td>A=67,496 Sv=37,964 R=100,000</td> <td>A=49,094 Sv=24,956 R=100,000</td> </tr> <tr> <td>81 a=31,3797</td> <td>tau=26,8119</td> <td>tau=17,800</td> <td>tau=3,810</td> <td>tau=1,9176</td> <td>tau=12,4079</td> <td>tau=1,510</td> <td>tau=110,888</td> <td>tau=131,6665</td> </tr> </table>  |                              |                              |            |             |            |             |              |            |            |            |           |           |           |           |           |           |           |           |           |           |           |           |           |           |          |  | A=44,385 Sv=27,361 R=100,000 | A=65,135 Sv=36,305 R=17,284 | A=67,496 Sv=37,964 R=100,000 | A=49,094 Sv=24,956 R=100,000 | 81 a=31,3797 | tau=26,8119 | tau=17,800 | tau=3,810  | tau=1,9176 | tau=12,4079 | tau=1,510 | tau=110,888 | tau=131,6665 |          |            |      |            |        |       |            |      |             |       |            |       |  |          |
| A=44,385 Sv=27,361 R=100,000 | A=65,135 Sv=36,305 R=17,284  | A=67,496 Sv=37,964 R=100,000 | A=49,094 Sv=24,956 R=100,000 |            |             |            |             |              |            |            |            |           |           |           |           |           |           |           |           |           |           |           |           |           |           |          |  |                              |                             |                              |                              |              |             |            |            |            |             |           |             |              |          |            |      |            |        |       |            |      |             |       |            |       |  |          |
| 81 a=31,3797                 | tau=26,8119  | tau=17,800                   | tau=3,810                    | tau=1,9176 | tau=12,4079 | tau=1,510  | tau=110,888 | tau=131,6665 |            |            |            |           |           |           |           |           |           |           |           |           |           |           |           |           |           |          |  |                              |                             |                              |                              |              |             |            |            |            |             |           |             |              |          |            |      |            |        |       |            |      |             |       |            |       |  |          |
| SOPRAELEVAZIONI              | <table border="0"> <tr> <td>Sv 7,00%</td> <td>Di = -0,01%</td> <td>6,9%</td> <td>Di = -0,02%</td> <td>2,50%</td> <td>Dx = -0,93%</td> <td>2,50%</td> <td>Di = 0,87%</td> <td>6,9%</td> <td>Di = 0,01%</td> <td>7,00%</td> <td>Di = 0,01%</td> <td>7,00%</td> </tr> <tr> <td>Dx 7,00%</td> <td>Di = 0,01%</td> <td>6,9%</td> <td>Dx = 0,93%</td> <td>-2,50%</td> <td>2,50%</td> <td>Di = 0,87%</td> <td>6,9%</td> <td>Di = -0,01%</td> <td>7,00%</td> <td>Di = 0,01%</td> <td>7,00%</td> </tr> </table> |                              |                              |            |             |            |             |              |            |            |            |           |           |           |           |           |           |           |           |           |           |           |           |           |           |          |  | Sv 7,00%                     | Di = -0,01%                 | 6,9%                         | Di = -0,02%                  | 2,50%        | Dx = -0,93% | 2,50%      | Di = 0,87% | 6,9%       | Di = 0,01%  | 7,00%     | Di = 0,01%  | 7,00%        | Dx 7,00% | Di = 0,01% | 6,9% | Dx = 0,93% | -2,50% | 2,50% | Di = 0,87% | 6,9% | Di = -0,01% | 7,00% | Di = 0,01% | 7,00% |  |          |
| Sv 7,00%                     | Di = -0,01%  | 6,9%                         | Di = -0,02%                  | 2,50%      | Dx = -0,93% | 2,50%      | Di = 0,87%  | 6,9%         | Di = 0,01% | 7,00%      | Di = 0,01% | 7,00%     |           |           |           |           |           |           |           |           |           |           |           |           |           |          |  |                              |                             |                              |                              |              |             |            |            |            |             |           |             |              |          |            |      |            |        |       |            |      |             |       |            |       |  |          |
| Dx 7,00%                     | Di = 0,01%   | 6,9%                         | Dx = 0,93%                   | -2,50%     | 2,50%       | Di = 0,87% | 6,9%        | Di = -0,01%  | 7,00%      | Di = 0,01% | 7,00%      |           |           |           |           |           |           |           |           |           |           |           |           |           |           |          |  |                              |                             |                              |                              |              |             |            |            |            |             |           |             |              |          |            |      |            |        |       |            |      |             |       |            |       |  |          |
| DIAGRAMMA DELLE VELOCITA'    | <table border="0"> <tr> <td>Vp 30,99</td> <td colspan="25">Vp 57,33</td> <td>Vp 43,13</td> </tr> </table>  |                              |                              |            |             |            |             |              |            |            |            |           |           |           |           |           |           |           |           |           |           |           |           |           |           |          |  | Vp 30,99                     | Vp 57,33                    |                              |                              |              |             |            |            |            |             |           |             |              |          |            |      |            |        |       |            |      |             |       |            |       |  | Vp 43,13 |
| Vp 30,99                     | Vp 57,33   |                              |                              |            |             |            |             |              |            |            |            |           |           |           |           |           |           |           |           |           |           |           |           |           |           | Vp 43,13 |  |                              |                             |                              |                              |              |             |            |            |            |             |           |             |              |          |            |      |            |        |       |            |      |             |       |            |       |  |          |



**sanas**  
GRUPPO FS ITALIANE

**Direzione Progettazione e Realizzazione Lavori**

**ITINERARIO RAGUSA-CATANIA**  
Collegamento viario compreso tra lo Svincolo della S.S. 514 "di Chiaramonte" con la S.S. 115 e lo Svincolo della S.S. 194 "Ragusana"  
LOTTO 4 - Dallo svincolo n. 8 "Francofonte" (compreso) allo svincolo della "Ragusana" (escluso)

**PROGETTO ESECUTIVO** COD. **PA898**

PROGETTAZIONE: ATI SINTAGMA - GP INGEGNERIA - COOPROGETTI - GDG - ICARIA - OMNISERVICE

PROGETTISTA RESPONSABILE DELL'INTEGRAZIONE DELLE PRESTAZIONI SPECIFICAZIONE: Dott. Ing. Mario Granieri  
Ordine degli Ingegneri della Prov. di Perugia n° A351

IL GRUPPO DI PROGETTAZIONE: **Sintagma**  
Dott. Ing. N. Grassi  
Dott. Ing. G. Duranti  
Dott. Ing. A. Barozzi  
Dott. Ing. L. Giordano  
Dott. Ing. G. Corbelli

MANDANTI: **ASIRACUSA**  
Dott. Ing. G. Duranti  
Dott. Ing. A. Barozzi  
Dott. Ing. L. Giordano  
Dott. Ing. G. Corbelli

IL GEOLOGO: Dott. Geol. Giorgio Cerignani  
Ordine dei Geologi della Regione Umbria n° 108

IL COORDINATORE PER LA SICUREZZA IN FASE DI PROGETTAZIONE: Dott. Ing. Filippo Farnocchia  
Ordine degli Ingegneri della Provincia di Perugia n° A1373

VISTO IL RESPONSABILE DEL PROCEDIMENTO: Dott. Ing. Luigi Mupo

**PROGETTO INFRASTRUTTURA SVINCOLO 10 "Lentini Zona Industriale" Profili longitudinali rampe 1, 2, 4, 5, 6, 7, rotatoria RT - Tav. 2 di 9**

|                 |                  |           |            |
|-----------------|------------------|-----------|------------|
| CODICE PROGETTO | NOVE FILE        | REVISIONE | SCALA:     |
| PROGETTO        | UV. MOD. N. MOD. |           |            |
| LQ408Z E 2101   | 04SV03TRAFPO2    | B         | 1:500/1:50 |

|   |   |          |             |            |           |
|---|---|----------|-------------|------------|-----------|
| B | Revisione a seguito di Rapporto di Verifica | Nov 2021 | S. Scopetta | F. Duranti | N. Grassi |
| A | Emissione                                   | Ott 2021 | S. Scopetta | F. Duranti | N. Grassi |

|      |             |      |         |            |           |
|------|-------------|------|---------|------------|-----------|
| REV. | DESCRIZIONE | DATA | REDATTO | VERIFICATO | APPROVATO |
|------|-------------|------|---------|------------|-----------|